

разрыхления при отколе и появление трещин, перпендикулярных поверхности откола, которые наблюдали многие авторы, исследовавшие это явление.

Поступила 3 VIII 1978

#### ЛИТЕРАТУРА

1. Архипов В. И., Маслов П. А. Экспериментальное исследование динамики роста хрупких трещин. — ПМТФ, 1977, № 3.
2. Kobayashi A. S., Emery A. F., Mall S. Dynamic-finite-element and dynamic-photoelastic analysis of two fracturing homalite-100 plates. — «Exp. Mech.», 1976, vol. 16, N 9.
3. Тараторин Б. И., Сахаров В. Н., Кузьмин В. С. Исследование задач механики разрушения поляризационно-оптическим методом. — В кн.: Поляризационно-оптический метод. М., «Наука», 1975.
4. Большаков А. П., Новиков С. А., Пылева В. П., Сеницын В. А., Филиппов К. И. О получении диаграмм растяжения образцов при взрывном нагружении. — ПМТФ, 1975, № 1.
5. Финкель В. М. Физические основы торможения разрушения. М., «Металлургия», 1977.
6. Benbow J. J., Roesler T. S. Experiments on controlled fractures. — «Proc. Phys. Soc.», 1957, vol. 70, pt 2, N 446.

УДК 539.375; 622.011.4; 622.023

### О ХРУПКОМ РАЗРУШЕНИИ КЕРНА ПРИ БУРЕНИИ В СЖАТОЙ СРЕДЕ

Э. А. Кошелев, П. А. Мартынюк, Э. Б. Поляк, Е. Н. Шер  
(Новосибирск)

При бурении с отбором керна в сжатой горным давлением среде обычно наблюдается разрушение керна на отдельные диски [1]. Замечено, что толщина образовавшихся дисков связана с величиной действующего горного давления и увеличение давления вызывает уменьшение толщины откальваемых дисков керна. На этой экспериментально установленной связи основана одна из методик ВНИИ по определению удароопасных участков в шахтах [2].

В данной работе это явление исследуется теоретически в рамках модели идеально упругой среды, разрушающейся хрупким образом. Делаются следующие предположения:

а) толщина стенок бурового инструмента полагается равной нулю, как и расстояние между берегами цилиндрической полости выбуриваемой буром в породе;

б) воздействие бура на керн при бурении описывается распределенным касательным напряжением, закручивающим керн. Нормальные напряжения на берегах разреза предполагаются нулевыми;

в) на бесконечности действуют однородные сжимающие напряжения, перпендикулярные оси цилиндрической трещины.

При этих предположениях вопрос о разрушении керна в принятой модели сводится к анализу напряженного состояния вблизи кромки возникающего цилиндрического выреза, а точнее, к определению коэффициентов интенсивности поля напряжений  $K_I$ ,  $K_{II}$  и  $K_{III}$  [3].

Рассматривается наиболее простая задача о равновесии в бесконечном изотропном упругом пространстве цилиндрического разреза радиуса  $a$  и длиной  $2l$ , ось которого расположена вдоль оси  $z$ , как изображено на фиг. 1. Ис-

следует два случая нагружения — сжатие поперечно оси  $z$  давлением, равным  $p_0$  на бесконечности, и кручение вдоль оси  $z$  напряжением, приложенным к поверхности керна.

**1. Осесимметрический случай.** Полагаем, что вектор перемещения  $u$  не зависит от угла  $\varphi$  и имеет вид  $u = u \cdot r + w \cdot z$ . Введем безразмерные величины формулами (штрихи в дальнейшем для простоты записи опускаются)

$$\langle u, w, z, r, a \rangle' = \frac{\langle u, w, z, r, a \rangle}{l}$$

$$\sigma'_{ij} = \sigma_{ij}/\mu, \quad \langle p_0, \tau_0 \rangle' = \langle p_0, \tau_0 \rangle/\mu.$$

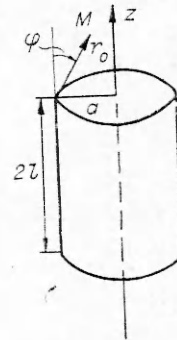
Тогда уравнения равновесия и компоненты тензора напряжения запишутся в виде

$$(1.1) \quad 2(1-\nu) \left[ \frac{\partial^2 u}{\partial r^2} + \frac{1}{r} \frac{\partial u}{\partial r} - \frac{u}{r^2} \right] + (1-2\nu) \frac{\partial^2 u}{\partial z^2} + \frac{\partial^2 w}{\partial z \partial r} = 0,$$

$$(4-2\nu) \left[ \frac{\partial^2 w}{\partial r^2} + \frac{1}{r} \frac{\partial w}{\partial r} \right] + 2(1-\nu) \frac{\partial^2 w}{\partial z^2} + \frac{\partial}{\partial z} \left[ \frac{\partial u}{\partial r} + \frac{u}{r} \right] = 0,$$

$$\sigma_{rr} = (1-2\nu)^{-1} [(1-\nu) \partial u / \partial r + \nu(u/r + \partial w / \partial z)],$$

$$\sigma_{zz} = (1-2\nu)^{-1} [(1-\nu) \partial w / \partial z + \nu(u/r + \partial u / \partial r)], \quad \sigma_{rz} = 2^{-1} [\partial u / \partial z + \partial w / \partial r].$$



Ф и г. 1

В рассматриваемом пространстве выделяем две области. Величины, относящиеся к области  $r \leq a$ , помечаем индексом 1, а к области  $r \geq a$  — индексом 2. Полагая деформированное состояние тела симметричным относительно плоскости  $z = 0$ , запишем общее решение уравнений равновесия (1.1)

$$u_1(r, z) = \frac{2}{\pi} \int_0^\infty \{srA(s) I_0(sr) + [sB(s) - 4(1-\nu)A(s)] I_1(sr)\} \cos(sz) ds,$$

$$w_1(r, z) = -\frac{2}{\pi} \int_0^\infty s [B(s) I_0(sr) + rA(s) I_1(sr)] \sin(sz) ds,$$

$$u_2(r, z) = \frac{2}{\pi} \int_0^\infty \{srC(s) K_0(sr) + [sD(s) + 4(1-\nu)C(s)] K_1(sr)\} \cos(sz) ds,$$

$$w_2(r, z) = \frac{2}{\pi} \int_0^\infty s [D(s) K_0(sr) + rC(s) K_1(sr)] \sin(sz) ds.$$

Четыре произвольные функции  $A(s)$ ,  $B(s)$ ,  $C(s)$ ,  $D(s)$  определяются из граничных условий

$$(1.2) \quad \sigma_{rr}^{(1)} = p_0 p(z), \quad \sigma_{rz}^{(1)} = 0 \quad \text{при } r = a, \quad |z| \leq 1$$

и дополнительных условий (непрерывность поля смещений и непрерывность компонент тензора напряжения на поверхности  $r = a$ )

$$(1.3) \quad \begin{aligned} u_1 = u_2, \quad w_1 = w_2 \quad \text{при } |z| \geq 1, \\ \sigma_{rr}^{(1)} = \sigma_{rr}^{(2)}, \quad \sigma_{rz}^{(1)} = \sigma_{rz}^{(2)} \quad \text{при } |z| < \infty. \end{aligned}$$

Из второй пары условий (1.3) находим выражения для  $A(s)$  и  $C(s)$  через две неизвестные функции  $B(s)$  и  $D(s)$ . После этого оставшиеся условия (1.3) и граничные условия (1.2) можно представить в виде

$$(1.4) \quad \begin{aligned} \frac{1}{2(1-\nu)} [u_1 - u_2] &= \frac{2}{\pi} \int_0^{\infty} [B_1(s) f_9 + D_1(s) f_{10}] \cos(sz) ds = 0, \quad z \geq 1, \\ \frac{1}{2(1-\nu)} \frac{\partial}{\partial z} [w_1 - w_2] &= \frac{2}{\pi} \int_0^{\infty} s [B_1(s) f_{11} + D_1(s) f_{12}] \cos(sz) ds = 0, \\ \sigma_{rr}^{(1)} &= \frac{2}{\pi} \int_0^{\infty} [B_1(s) F_1 - D_1(s) F_2] \cos(sz) ds = p_0 p(z), \\ \sigma_{rz}^{(1)} &= \frac{2}{\pi} \int_0^{\infty} [B_1(s) F_3 + D_1(s) F_4] s \sin(sz) ds = 0, \quad 0 \leq z \leq 1, \end{aligned}$$

где  $B_1(s) = B(s) s F_0^{-1}$ ;  $D_1(s) = D(s) s F_0^{-1}$ ;

$$\begin{aligned} F_0 &= f_3 f_5 + f_7 f_1; \quad \bar{F}_1 = s^{-1} f_3 [f_5 f_2 - f_6 f_1]; \\ F_2 &= s^{-1} f_1 [f_4 f_7 - f_3 f_8]; \quad \bar{F}_3 = F_1 f_7 f_3^{-1}; \quad \bar{F}_4 = F_2 f_5 f_1^{-1}; \\ f_1 &= -(3 - 2\nu) s I_0(sa) + \left[ s^2 a + \frac{4(1-\nu)}{a} \right] I_1(sa); \\ f_2 &= s^2 a I_0(sa) - \frac{s}{a} I_1(sa); \\ f_3 &= (3 - 2\nu) s K_0(sa) + \left[ s^2 a + \frac{4(1-\nu)}{a} \right] K_1(sa); \quad f_4 = s^2 a K_0(sa) + \\ &\quad + \frac{s}{a} K_1(sa); \\ f_5 &= s a I_0(sa) - 2(1-\nu) I_1(sa); \quad f_6 = s I_1(sa); \\ f_7 &= s a K_0(sa) + 2(1-\nu) K_1(sa); \quad f_8 = s K_1(sa); \\ f_9 &= s I_0(sa) + \frac{2(1-\nu)}{a} I_1(sa); \quad f_{10} = s K_0(sa) - \frac{2(1-\nu)}{a} K_1(sa); \\ f_{11} &= \frac{4-2\nu}{a} I_0(sa) + f_6; \quad f_{12} = \frac{1-2\nu}{a} K_0(sa) - f_8. \end{aligned}$$

Полученную систему четырех интегральных уравнений для двух неизвестных функций  $B_1(s)$  и  $D_1(s)$  сведем к системе из двух интегральных уравнений Фредгольма второго рода для непрерывных на отрезке  $[0, 1]$  функций  $\varphi(t)$  и  $\psi(t)$  способом, указанным в работе [4].

Функции  $\varphi(t)$  и  $\psi(t)$  задаются равенствами

$$u_0(a, z) = \int_z^1 \frac{\tau \varphi(\tau) d\tau}{\sqrt{\tau^2 - z^2}}, \quad w_0(a, z) = \frac{\delta}{\sqrt{1 - z^2}} + \int_z^1 \frac{\psi(\tau) d\tau}{\sqrt{\tau^2 - z^2}},$$

здесь  $u_0(a, z)$  и  $w_0(a, z)$  с точностью до коэффициентов совпадают с  $u_1(a, z) - u_2(a, z)$  и  $\partial w_1/\partial z - \partial w_2/\partial z$  при  $r = a$ . Параметр  $\delta$  определяется из условия, что перемещения  $w_1(a, z)$  и  $w_2(a, z)$  при  $z \rightarrow 1$  должны совпадать, и дается выражением

$$\delta = - \int_0^1 \psi(t) dt.$$

Из двух первых уравнений системы (1.4) получаем формулы, определяющие  $B_1(s)$  и  $D_1(s)$  через вновь введенные функции  $\varphi(t)$  и  $\psi(t)$

$$B_1(s) = F^{-1}[-s^{-1}f_{10}\Psi_0 + f_{12}\Phi_0], \quad D_1(s) = F^{-1}[s^{-1}f_9\Psi_0 - f_{11}\Phi_0],$$

где

$$F = -s/a + \frac{2(1-\nu)(1-2\nu)}{sa^3}; \quad \Phi_0 = \frac{\pi}{2} \int_0^1 \tau \varphi(\tau) J_0(s\tau) d\tau;$$

$$\Psi_0 = \frac{\pi}{2} \left[ \delta J_0(s) + \int_0^1 \psi(\tau) J_0(s\tau) d\tau \right].$$

Оставшиеся уравнения системы (1.4) так же, как это сделано в работе [4], приводятся к системе интегральных уравнений Фредгольма второго рода (для простоты принято  $p(z) = 1 = \text{const}$ )

$$(1.5) \quad \varphi_1(t) + 2 \int_0^1 \varphi_1(\tau) K_1(\tau, t) d\tau - 2 \int_0^1 \psi_1(\tau) K_2(\tau, t) d\tau = 2\sqrt{t},$$

$$\psi_1(t) + 2 \int_0^1 \psi_1(\tau) K_3(\tau, t) d\tau + 2 \int_0^1 \varphi_1(\tau) K_4(\tau, t) d\tau = 4 \frac{\alpha}{a} \sqrt{t},$$

где

$$\varphi_1(t) = t^{1/2}\varphi(t) p_0^{-1}; \quad \psi_1(t) = t^{-1/2}\psi(t) p_0^{-1}; \quad \delta = - \int_0^1 \sqrt{t} \psi(t) dt;$$

$$K_1(\tau, t) = \sqrt{\tau t} \int_0^\infty s g_1(s) J_0(st) J_0(s\tau) ds;$$

$$K_2(\tau, t) = \sqrt{\tau t} \int_0^\infty s g_2(s) J_0(st) [J_0(s\tau) - J_0(s)] ds;$$

$$K_3(\tau, t) = \sqrt{\tau t} \int_0^\infty s \left[ g_4(s) - \frac{2\alpha}{a} g_2(s) \right] J_0(st) [J_0(s\tau) - J_0(s)] ds;$$

$$K_4(\tau, t) = \sqrt{\tau t} \int_0^\infty s \left[ g_3(s) - \frac{2\alpha}{a} g_1(s) \right] J_0(st) J_0(s\tau) ds;$$

$$g_1(s) = [z^2 + (3 - 2\nu)] \Phi_1 + \frac{2}{z} \Phi_2 - 1/2; \quad g_2(s) = -s^{-1} [z\Phi_1 + \Phi_2];$$

$$g_3(s) = s [z\Phi_1 + \Phi_2] + \frac{\alpha}{a};$$

$$g_4(s) = z^2\Phi_1 - 1/2; \quad \Phi_1 = I_0(z)K_1(z) - I_1(z)K_0(z); \quad \Phi_2 = z^2I_0(z)K_0(z) - [z^2 + 2(1-\nu)]I_1(z)K_1(z); \quad z = sa; \quad \alpha = 1/4 - \nu.$$

Найдя решение системы (1.5), можем посчитать поля напряжений и перемещений в любой точке нашей области.

**2. Кручение цилиндрической трещины.** В этом случае отлична от нуля единственная компонента вектора перемещения  $u_\varphi = u(r, z)$ , а урав-

нение равновесия и ненулевые компоненты тензора напряжения имеют вид (в безразмерной форме)

$$(2.1) \quad \frac{\partial^2 u}{\partial r^2} + \frac{1}{r} \frac{\partial u}{\partial r} - \frac{u}{r^2} + \frac{\partial^2 u}{\partial z^2} = 0, \quad \sigma_{r\varphi} = \partial u / \partial r - u/r, \quad \sigma_{z\varphi} = \partial u / \partial z.$$

Предполагаем, что  $u(r, z)$  является четной функцией по  $z$ . Как и раньше, индексом 1 будут обозначаться величины, относящиеся к внутреннему цилиндру, а индексом 2 — к внешнему  $r \geq a$ . Тогда решение уравнения равновесия (2.1) можно записать в виде

$$u^{(1)}(r, z) = \frac{2}{\pi} \int_0^\infty A(s) I_1(sr) \cos(sz) ds, \quad u^{(2)}(r, z) = \frac{2}{\pi} \int_0^\infty B(s) K_1(sr) \cos(sz) ds.$$

Произвольные функции  $A(s)$  и  $B(s)$  определяются из граничных условий и условий непрерывности при  $r = a$

$$(2.2) \quad \sigma_{r\varphi}^{(1)} = \tau_0 \tau_1(z), \quad \sigma_{r\varphi}^{(2)} = \tau_0 \tau_2(z) \quad \text{при } |z| \leq 1, \\ \sigma_{r\varphi}^{(1)} = \sigma_{r\varphi}^{(2)}, \quad u^{(1)} = u^{(2)} \quad \text{при } |z| \geq 1.$$

Первые три условия определяют выражение  $\sigma_{r\varphi}^{(1)}(a, z) - \sigma_{r\varphi}^{(2)}(a, z)$  при  $r = a$ ,  $|z| < \infty$ , откуда имеем

$$A(s) I_2(sa) + B(s) K_2(sa) = T_0(s),$$

где

$$T_0(s) = s^{-1} \tau_0 \int_0^1 [\tau_1(z) - \tau_2(z)] \cos(sz) dz.$$

Вводя в рассмотрение новую функцию  $F(s)$  равенством

$$A(s) I_1(as) - B(s) K_1(as) = F(s),$$

первое и последнее условие из (2.2) запишем в виде

$$\frac{2}{\pi} \int_0^\infty s^2 a I_2(sa) [K_2(sa) F(s) + T_0(s) K_1(sa)] \cos(sz) ds = \tau_0 \tau_1(z), \quad 0 \leq z \leq 1,$$

$$(2.3) \quad w(a, z) = u^{(1)}(a, z) - u^{(2)}(a, z) = \frac{2}{\pi} \int_0^\infty F(s) \cos(sz) ds = 0, \quad z \geq 1.$$

Из последнего уравнения получаем

$$(2.4) \quad F(s) = \int_0^1 w(a, z) \cos(sz) dz.$$

Так как перемещения  $u^{(i)}(a, z)$  ( $i = 1, 2$ ) при  $z \rightarrow 1$ , т. е. в носике трещины, ведут себя как  $(1 - z)^{1/2}$ , то введем функцию  $\varphi(t)$  равенством

$$w(a, z) = \int_z^1 \frac{\tau \varphi(\tau) d\tau}{V \tau^2 - z^2}.$$

Подставляя в (2.4) выражение для  $w(a, z)$ , получим

$$F(s) = \frac{\pi}{2} \int_0^1 \tau \varphi(\tau) J_0(s\tau) d\tau.$$

Второе уравнение системы (2.3) удовлетворяется тождественно при любой функции  $\varphi(t)$ . Подставляя так определенную функцию  $F(s)$  в первое уравнение системы (2.3) и проводя необходимые преобразования, как это сделано в работе [4], получаем интегральное уравнение Фредгольма второго рода

$$(2.5) \quad \varphi_1(t) - \int_0^1 \varphi_1(\tau) K(\tau, t) d\tau = F(t), \quad 0 \leq t \leq 1,$$

где

$$\varphi_1(t) = \varphi(t) \sqrt{t} \tau_0^{-1};$$

$$K(\tau, t) = 2 \sqrt{\tau t} \int_0^\infty s [1/2 - sa I_2(sa) K_2(sa)] J_0(st) J_0(s\tau) ds;$$

$$F(t) = \frac{4}{\pi} \sqrt{t} \left\{ \int_0^t \frac{\tau_1(z) dz}{\sqrt{t^2 - z^2}} - \int_0^\infty s^2 a I_2(sa) K_1(sa) T_0(s) J_0(st) ds \right\}.$$

### 3. Выделение особенностей напряжений и обсуждение результатов.

Полученные решения обладают тем свойством, что напряжения имеют особенность в вершине трещины порядка  $r_0^{-1/2}$ , где  $r_0 \ll 1$  — расстояние извне до вершины трещины (см. фиг. 1). Условия предельного равновесия трещины полностью определяются коэффициентами интенсивности напряжений  $K_I, K_{II}, K_{III}$  при этих особенностях. Найдем коэффициент интенсивности напряжений рассмотренных задач, считая, что решения уравнений Фредгольма (1.5), (2.5) известны. При кручении цилиндрической трещины напряжение  $\sigma_{r\varphi}$  можно записать в виде

$$(3.1) \quad \sigma_{r\varphi}^{(1)}(r, z) \simeq \int_0^\infty s^2 a K_2(sa) I_2(sr) \cos(sz) ds \int_0^1 \tau \varphi(\tau) J_0(s\tau) d\tau + \dots$$

Полагая, что  $a - r = \varepsilon \ll 1$ , при  $s \gg 1$  имеем

$$(3.2) \quad s^2 a K_2(sa) I_2(sr) \simeq e^{-\varepsilon s} [(2as)^{-1} + O(s^{-2})].$$

Во внутреннем интеграле также выделим главную часть

$$(3.3) \quad \int_0^1 \tau \varphi(\tau) J_0(s\tau) d\tau \simeq \frac{1}{s} \varphi(1) J_1(s).$$

Учитывая в (3.1) только главные члены из (3.2), (3.3) (можно показать, что остальные члены не участвуют в формировании особенности), получаем [5]

$$\sigma_{r\varphi}(r, z) \simeq \frac{\varphi(1)}{2} \int_0^\infty e^{-\varepsilon s} J_1(s) \cos(sz) ds = \frac{\varphi(1)}{2} \left[ 1 - (2r_0)^{-1/2} \cos \frac{\varphi}{2} \right]$$

или, возвращаясь к размерным величинам, имеем

$$(3.4) \quad \sigma_{r\varphi} \simeq \frac{\varphi_1(1)}{2} \tau_0 \left[ 1 - \sqrt{\frac{l}{2}} \cos \frac{\varphi}{2} r_0^{-1/2} \right] = \tau_0 \frac{\varphi_1(1)}{2} - \frac{K_{III}}{\sqrt{r_0}} \cos \frac{\varphi}{2}.$$

Поступая аналогичным образом в осесимметрическом случае, опуская при этом громоздкие вычисления, получим асимптотические формулы для компонент тензора напряжения, справедливые в малой окрестности вершины трещины и совпадающие с формулами, приведенными в [6],

$$\begin{aligned} \sigma_{rr}(r, z) &= \frac{p_0 \sqrt{l}}{2 \sqrt{2r_0}} \left\{ \delta \sin \frac{\varphi}{2} \cos \frac{\varphi}{2} \cos \frac{3\varphi}{2} - \varphi_1(1) \cos \frac{\varphi}{2} \left[ 1 + \sin \frac{\varphi}{2} \sin \frac{3\varphi}{2} \right] \right\}, \\ \sigma_{zz}(r, z) &= \frac{p_0 \sqrt{l}}{2 \sqrt{2r_0}} \left\{ -\delta \sin \frac{\varphi}{2} \left[ 2 + \cos \frac{\varphi}{2} \cos \frac{3\varphi}{2} \right] - \varphi_1(1) \cos \frac{\varphi}{2} \left[ 1 - \sin \frac{\varphi}{2} \sin \frac{3\varphi}{2} \right] \right\} \\ \sigma_{rz}(r, z) &= \frac{p_0 \sqrt{l}}{2 \sqrt{2r_0}} \left\{ \delta \cos \frac{\varphi}{2} \left[ 1 - \sin \frac{\varphi}{2} \sin \frac{3\varphi}{2} \right] - \varphi_1(1) \sin \frac{\varphi}{2} \cos \frac{\varphi}{2} \cos \frac{3\varphi}{2} \right\}. \end{aligned}$$

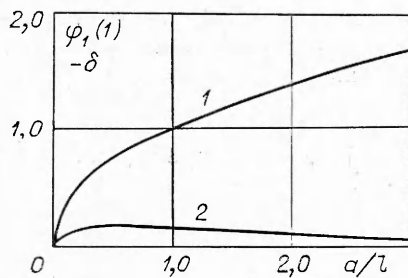
Отсюда

$$(3.5) \quad K_I = -\frac{\varphi_1(1) p_0 \sqrt{l}}{2 \sqrt{2}}, \quad K_{II} = \frac{p_0 \sqrt{l}}{2 \sqrt{2}} \delta,$$

где  $\delta$  и  $\varphi_1(1)$  определяются формулами (1.5).

В предельном случае при  $a \rightarrow \infty$  и  $\tau_1(z) = \tau_2(z) \equiv 1$  из уравнения (2.5) получаем  $\varphi_1(1) = 2$  и из (3.4) находим  $K_{III} = \tau_0 \sqrt{l}/\sqrt{2}$ , что отвечает решению задачи о равновесии изолированной трещины длиной  $2l$  в условиях антиплоской деформации.

В осесимметрическом случае из уравнений (1.5) при  $a \rightarrow \infty$  получаем  $\varphi_1(1) = 2$ ,  $\psi_1(t) = 0$ , а из (3.5) находим  $K_I = -p_0 \sqrt{l}/2$ ;  $K_{II} = 0$ , что отвечает решению об изолированной трещине в условиях плоской деформации.



Ф и г. 2

Интегральные уравнения Фредгольма (1.5), (2.5) считались численно с помощью ЭВМ. В качестве примера результаты счета системы интегральных уравнений (1.5) при  $\nu = 0,3$  изображены графически на фиг. 2. Здесь кривые 1 и 2 отвечают изменению  $\varphi_1(1)$  и  $(-\delta)$  в зависимости от величины отношения  $a/l$ . При малых значениях отношения  $a/l$  величина  $\varphi_1(1)$  считается устойчивой и ее значения

хорошо аппроксимируются выражением

$$\varphi_1(1) = 1,095 \sqrt{a/l}.$$

При  $a/l \ll 1$  решение рассматриваемой задачи переходит в решение задачи о равновесии полубесконечной цилиндрической трещины, для которой, используя метод Райса [6], получаем зависимость

$$(3.6) \quad K_I^2 + K_{II}^2 = (2\pi)^{-1} \frac{p_0^2 a}{1 - \nu^2}$$

или

$$\varphi_1^2(1) + \delta^2 = \frac{4}{\pi(1 - \nu^2)} \frac{a}{l}.$$

Используя это соотношение, можно уточнить зависимость  $-\delta$  (кривая 2) при малых значениях отношения  $a/l$ , где численный счет на ЭВМ затруднен.

На фиг. 3 представлены результаты численного счета уравнения (2.5) в предположении, что

$$-\tau_2(z) = \tau_1(z) = \begin{cases} 1, & 1 - l_0 \leq z \leq 1, \\ 0, & 0 \leq z < 1 - l_0 \end{cases}$$

Линии 1—5 изображают изменение величины  $a/l \cdot \varphi_1(1)$  в зависимости от отношения  $a/l$

при  $l_0/l = 1,0; 0,9; 0,8; 0,5; 0,2$  соответственно. Если  $a/l \gg 1$ , то величина  $a/l \cdot \varphi_1(1) \sim \sqrt{a/l}$ . В другом предельном случае для  $a/l \ll 1$  по методу Райса [6] получаем

$$(3.7) \quad K_{III} = \frac{2\tau_0 l_0}{\sqrt{2\pi} a^{1/2}} - \frac{M}{\pi \sqrt{2\pi} a^{5/2}}$$

где  $M = 2\pi a^2 \tau_0 l_0$  — момент, создаваемый напряжением  $\tau_0$ , действующим на участке длиной  $l_0$ . Кривые 1—5 с точностью от 1 до 5% (в зависимости от величины отношения  $l_0/l$ ) при  $a/l \leq 2$  аппроксимируются выражением, аналогичным полученному в работе [7]

$$(3.8) \quad \frac{a}{l} \varphi_1(1) = \frac{4}{\sqrt{\pi}} \sqrt{\frac{a}{l}} \left[ 1 - 0,047 \frac{a}{l} \right].$$

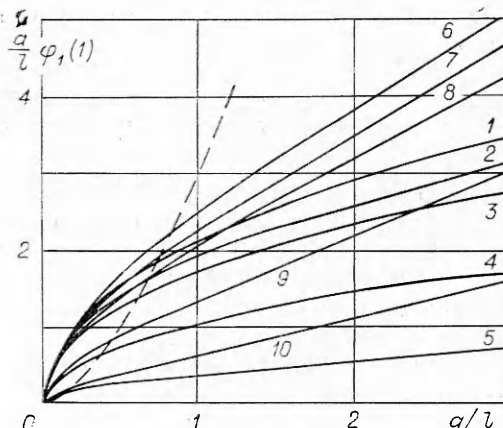
На фиг. 3 линиями 6—10 изображены результаты численного счета уравнения (2.5) в предположении, что  $\tau_2(z) \equiv 0$ , а  $\tau_1(z)$  такая же, как и выше при  $l_0/l = 1,0; 0,9; 0,8; 0,5; 0,2$  соответственно. В этом случае при  $a/l \gg 1$  величина  $a/l \cdot \varphi_1(1)$  асимптотически стремится к значению  $1 - 2/\pi \cdot \arcsin(1 - l_0)$ , а при  $a/l \leq 1$  с точностью до 2% аппроксимируется формулой

$$\frac{a}{l} \varphi_1(1) = \frac{4}{\sqrt{\pi}} \sqrt{\frac{a}{l}} \left[ \frac{l_0}{l} + 0,096 \frac{a}{l} \right].$$

В задаче о кручении при  $z = 0$  напряжение  $\sigma_{z\varphi} = 0$ , т. е. плоскость  $z = 0$  является свободной. Задачу можно интерпретировать следующим образом: перпендикулярно свободной поверхности бурится цилиндрическая трещина (кern), а напряжение  $\sigma_{r\varphi}$  характеризует трение между инструментом и породой. Беря в качестве критерия разрушения [3]

$$(3.9) \quad (1 - \nu) [K_I^2 + K_{II}^2] + K_{III}^2 = 2\mu \frac{\gamma}{\pi},$$

где  $\gamma$  — поверхностная энергия, приходящаяся на единицу свободной поверхности тела, и считая величины  $\gamma$ ,  $\mu$ ,  $\tau_0$ ,  $a$  заданными, с помощью кривой 1 на фиг. 3 можем определить длину первого отломившегося кус-



Фиг. 3



ка. Рассматривая только кручение ( $K_I = K_{II} = 0$ ), из (3.4), (3.9) получаем

$$(3.10) \quad \frac{a}{l} \varphi_1(1) = \frac{4}{\tau_0} \sqrt{\frac{\mu\gamma}{\pi a}} \left(\frac{a}{l}\right)^{3/2} = k_0 \left(\frac{a}{l}\right)^{3/2}.$$

Эта зависимость изображена штриховой линией на фиг. 3 (при этом постоянная  $k_0 = 3$ ). Точка пересечения этой линии с кривой  $I$  определяет длину первого куска  $a/l_1 = 0,73$  или  $l_1 = 1,37a$ .

Рассмотрим следующую идеализацию процесса. Допустим, что инструмент углубился еще на расстояние  $l_0$ , тогда считаем, что касательные напряжения действуют только на этом участке  $l_0$ , а на длине отломившегося куска  $l_1$  они равны нулю (он вращается вместе с режущим инструментом), и общая длина при этом будет  $l = l_0 + l_1$ . Чтобы найти размер второго куска, в данном случае достаточно приравнять (3.8) (где берем только главный член) и (3.10)

$$k_0(a/l)^{3/2} = (4/\sqrt{\pi})(a/l)^{1/2} \cdot l_0/l,$$

откуда  $l_2 = l_0 = k_0 \sqrt{\pi/4} \cdot a = 1,33a$ . Очевидно, этот процесс можно продолжить дальше.

В общем случае, когда  $K_I \neq 0$  и  $K_{II} \neq 0$ , т. е. имеется боковое сжатие, в предельном случае при  $a/l \ll 1$  можно оценить влияние величины бокового давления  $p_0$  на размер отламывающихся кусков. Для этого асимптотические выражения (3.6), (3.7) подставим в (3.9) и получим

$$\frac{l_0^2}{a^2} + \frac{1}{4(1+\nu)} \frac{p_0^2}{\tau_0^2} = \frac{\gamma\mu}{a\tau_0^2}.$$

Отсюда видно, что максимальный размер отламывающихся при бурении керна кусков получается при отсутствии бокового сжатия ( $p_0 = 0$ ). С ростом  $p_0$  размер кусков уменьшается и стремится к нулю при  $p_0^2 = 4(1 + \nu)\gamma\mu a^{-1}$ .

Поступила 27 VI 1978

#### ЛИТЕРАТУРА

1. Leeman E. R. The measurement of stress in rock.— «J. of the South Afric Inst. of Mining and Metallurgy», 1964, September.
2. Временные методические указания по прогнозированию и профилактике горных ударов на строительстве и эксплуатации шахт СУБРа. Свердловск, 1975.
3. Черепанов Г. П. Механика хрупкого разрушения. М., «Наука», 1974.
4. Sih G. C., Embley G. T., Ravera R. S. Impact response of a finite crack in plane extension.— «Int. J. Solids and Struct.», 1972, vol. 8, N 7.
5. Градштейн И. С., Рыжик И. М. Таблицы интегралов сумм, рядов и произведений. М., «Наука», 1963.
6. Разрушение. Математические основы теории разрушения. Т. 2. М., «Мир», 1975.
7. Сирунян В. Х. Цилиндрическая трещина в упругом пространстве.— «Изв. АН АрмССР», 1974, № 4.